

⑫ 公表特許公報 (A)

平5-504023

⑬ 公表 平成5年(1993)6月24日

⑭ Int. Cl.
H 01 M 14/00
G 03 F 7/029
H 01 G 9/20

識別記号

P

府内整理番号
8222-4K
9019-2H
7924-5E審査請求有
予備審査請求有

部門(区分) 7 (1)

(全 16 頁)

⑮ 発明の名称 光電池

⑯ 特 願 平3-507923

⑰ ⑯ 出 願 平3(1991)4月17日

⑯ 翻訳文提出日 平4(1992)10月16日

⑯ 国際出願 PCT/EP91/00734

⑯ 國際公開番号 WO91/16719

⑯ 國際公開日 平3(1991)10月31日

優先権主張 ⑯ 1990年4月17日 ⑯ イギリス(GB) ⑯ 9008512.7

⑭ 発明者 グレツエル, ミヒヤエル スイス国、ツエー・ハーー1015・サン・シュルビス、シュマン・ド
ユ・マルキザ・7・アー⑮ 出願人 グレツエル, ミヒヤエル スイス国、ツエー・ハーー1015・サン・シュルビス、シュマン・ド
ユ・マルキザ・7・アー

⑯ 代理人 弁理士 川口 義雄 外3名

⑭ 指定国 A T(広域特許), A U, B E(広域特許), C H(広域特許), D E(広域特許), D K(広域特許), E S(広域特許), F R(広域特許), G B(広域特許), G R(広域特許), I T(広域特許), J P, K R, L U(広域特許), N L(広域特許), S E(広域特許), U S

最終頁に続く

請求の範囲

1. 1つ以上の好ましくは多孔質で高表面積の二酸化チタン層が付与されたガラスプレートまたは透明ポリマーシート上に堆積された光透過性導電層であって、少なくとも最後の二酸化チタン層(必要によっては最後から2番目及び最後から3番目の層も)が、二層または三層金属から選択された金属イオンでドーピングされている導電層を含む光電池。

2. 1) 少なくとも一方が透明であり且つ60%以上の可視光透過率を有する2つの電極であって、プレートがこれら電極間の中空部を規定するように配置されており、前記中空部内には電解液が位置しており、前記一方の透明な電極が更に電解液被覆二酸化チタン層を有している電極と、
ii) 該電池によって生成された電流の逆行を可能とする手段

とを備えている光電池であって、前記膜の電解液接触表面が、二層及び三層金属及びホウ素から選択される少なくとも1種のイオンでドーピングされているという改良がなされている光電池。

3. 光増感染料が、ドーアされたTIO₂層に塗布されて

いる請求項1または2に記載の光電池。

4. 遷移金属錯体光増感染料で被覆した、厚さ0.1~50ミクロンを有する二酸化チタン層を堆積した第1の導電性プレートと、

TIO₂被覆は含まず且つ薄い電解液層によって前記第1のプレートから分離されている第2の伝導性プレートとを含む光電池であって、少なくとも一方のアレートの可視光透過率が60%以上である光電池。

5. 対電極(前記第2のアレート)が薄い電極触媒層で被覆されている請求項4に記載の光電池。

6. 光増感染料が二酸化チタンの表面に塗布されている請求項1から5のいずれか一項に記載の光電池。

7. 前記電解液がレドックス系(電荷移動リレー)を含む請求項4から6のいずれか一項に記載の光電池。

8. 實質的に図面を参照して説明された光電池。

9. ガラス支持体上の透明なTIO₂層からなる電極。

10. 配位子が二座、三座または全座のポリビリジル化合物である、未置換のまたは置換されている遷移金属錯体からなる光増感染料であって、例えば化合物:

[M(L¹)(L²)(μ-(NC)M(CN)(L³)(L⁴)),] (1)

[M(L*)(L*)(μ-(NC)M(L*)(L*)μ-(CN)M(CN)(L*)(L*))], (2)

[M(L*)(L*)(μ-(NC)M(L*)(L*)μ-(CN)), M(L*)(L*)] (3)

[(L*)(L*)(X)M μ-(NC)M(CN)(L*)(L*)] (4)

[M(L*)(L*)(X),] (5)

[M(L*)(L*)(L*)] (6)

[M(L*)(L*)(μ-(NC)M(L*)(L*))] (7)

[M(L*)(L*)(μ-(NC)M(L*)(L*)μ-(CN)M(L*)(L*))], (8)

[M(L*)(L*)μ-(NC)M(L*)(L*)] (9)

[M(L*)(L*)(X)] (10)

(式中、各Mは独立に、ルテニウム、オスミウムまたは族から選択され、μ-(CN)またはμ-(NC)は、シアノ基が2つの金属原子を架橋していることを示しており、

L*, L*, L*及びL*の各々は独立に、未置換のまたは1つもしくは2つのCOOH基で置換された2,2'-ビピリジル；C,,,アルキル、C,,,アルコキシ及びジフェニルから選択される1つまたは2つの基で置換された2,2'-ビピリジル；未置換のまたは1つもしくは2つのカルボキシ基で置換された2,2'-ビキノリン；未置換の、或いは、1つもしくは2つのカルボキシ基及び/または1つもしくは2つのヒドロキシ基及び/または1つもしくは2つ

のジオキシム基で置換されたフェナントロリン；パソフェナントロリンジスルホン酸；ジアザヒドロキシカルボキシートリフェニレン；カルボキシビリジン；フェニルビリジン；2,2'-ビス(ジフェニルホスフィノ)-1,1'-ビナフタレン；(ピリジルアゾ)レゾルシノール；ビス(2-ビリジル)C,,,アルカン；テトラC,,,アルキルエチレンジアミン；及びジ-C,,,アルキルグリオキシムから選択され、

L*は、(未置換の、または未置換もしくはCOOHで置換されたフェニル基で置換された)テルビリジル及びジカルボキシ-ビリジン(好ましくは2,6-ジカルボキシ-ビリジン)から選択され、

各Xは独立に、ハロ、H₂O、CN、アミン(第一級または第二級アルキルアミン)及び/またはビリジンである)である光増感染料。

明 説 書 光電池

本発明は新規の遷移金属染料及びそれらの光電池における使用に係る。かかる染料は、二酸化チタン膜を被覆して可視光から電気エネルギーへの変換においてデバイスを有効にすることができる。

二酸化チタン膜(層)は半導体特性が良く知られており、この特性によって光電池に有用となっている。しかしながら二酸化チタンは大きなバンドギャップを有しており、従ってスペクトルの可視領域の光を吸収しない。太陽光利用においては、太陽が光を発する波長域、即ち300~2000nmの光を集め光増感剤で二酸化チタン膜を被覆することが重要である。熱力学的考察から、820nm以下の波長を有する全ての放射光子が光増感剤によって吸収されるときに、最も効率的に太陽エネルギーから電気への変換が行われることが判っている。従って太陽光変換に最適な染料は800nm近傍に吸収開始域(absorption onset)を有し、吸収スペクトルは、可視領域全体をカバーするようなものであるべきである。

効率的な太陽光エネルギー変換のための第2の必要条件は、光を吸収し従ってエネルギーが豊富な状態を獲得した

後の染料が、電子を二酸化チタン膜の伝導帯中に実用的な単位の量子効率で放出し得ることである。このためには、染料が二酸化チタンの表面に適当な結合基(interlocking group)を介して結合することが必要である。結合基の機能は、染料の発色基と半導体の伝導帯との間に電気的結合を提供することである。このタイプの電気的結合は、励起状態の染料と伝導帯との間の電子の移動を容易にするために必要とされる。適当な結合基としては、カルボキシレート基、シアノ基、ホスフェート基、または、オキシム、ジオキシム、ヒドロキシキノリン、サリチレート及びロケテノレートのような々伝導性を有するキレート化基を挙げることができる。光電池が作動されているときには、染料によって光注入された電子は外部回路中に電流を生成する。

本発明によれば、

1つ以上の好ましくは多孔質で高表面積の二酸化チタン層が付与されたガラスアレートまたは透明ポリマーシート上に堆積された光透過性導電層であって、少なくとも最後の二酸化チタン層(必要によっては最後から2番目及び最後から3番目の層も)が、二価または三価金属から選択された金属イオンでドーピングされている導電層

を含む光電池が提供される。

更に本発明によれば、

i) 少なくとも一方が透明であり且つ60%以上の可視光透過率を有する2つの電極であって、アレートがこれら電極間に中空部(receptacle)を規定するように配置されており、中空部内には電解液が位置しており、前記一方の透明な電極が更に電解液被覆二酸化チタン層を有している電極と、

ii) 該電池によって生成された電流の通行を可能とする手段

とを備えている光電池であって、前記膜の電解液接触表面が、二価及び三価金属及びホウ素から選択される少なくとも1種のイオンでドーピングされているという改良がなされている光電池が提供される。

本発明の目的において、ドーパントは二酸化チタンの表面、即ち二酸化チタン/電解液の界面またはその極めて近傍に閉じ込められることが不可欠である。これを行なう好ましい方法は、一連の二酸化チタン層を次々と上に重ねて与え、最後の3つの層までがドーパントを含むようにすることである。最後の4つの層がドーパントを含むのも好ま

しいが、最後の層のみがドーパントを含むのはより好ましい。

光増感用染料は、ドーピングしたTiO₂層に塗布するのが好ましい。このような光増感剤は、ルテニウム、オスミウムもしくは鉄錯体、または1つの超分子錯体中の2つもしくは3つの遷移金属の組合せであるのが好ましい。

好ましくは本発明の光電池は、

遷移金属錯体光増感剤で被覆された、好ましくは厚さ0.1~50ミクロンを有する二酸化チタン層が堆積された導電性の第1アレートと、

TiO₂コーティングをもたず且つ薄い電解液層によって第1アレートから分離されている伝導性の第2アレートとを含み、少なくとも一方のアレートの可視光(好ましくは太陽光)透過率が60%以上である。

第2アレート(“対極”としても公知である)は薄い電極触媒層(好ましくは厚さ10ミクロン以下)で被覆することもできる。電極触媒の役割は、対極から電解液への電子の移動を容易にすることである。対極になし得る別の変更は、最初に電解液及び第1アレートを通過してその上に到達した光を反射することである。

光増感剤は二酸化チタンの表面に塗布するのが好ましい。光増感剤は、ルテニウム、オスミウム、鉄遷移金属錯体、またはこれらの組合せから選択されるのがより好ましい。

電解液はレドックス系(電荷移動リレー)を含むのが好ましい。好ましいこのような系としては、ヨウ素/ヨウ素溶液、臭素/臭素溶液、ヒドロキノン溶液、または未結合電子を還元する遷移金属錯体溶液を挙げることができる。電解液中に存在する電荷移動リレーは電荷を一方の電極から他方の電極へと還元する。電荷移動リレーは純粋な仲介物質として作用し、電池の作動の間に化学的変化を受けない。本発明の光電池における電解質は、二酸化チタンに塗布された染料が不溶性を示すような有機溶質中に溶解しているのが好ましい。これは、電池が長期安定性を有するという利点を与える。

電解液に好ましい有機溶剤としては、既定的ではないが、水、アルコール及びその混合物、炭酸アロビレン、炭酸エチレン及びメチルヒドロリドンのような非揮発性溶剤、非揮発性溶剤と例えばアセトニトリル、エチルアセテートまたはテトラヒドロフランのような粘性低下剤との混合物を挙げができる。別の溶剤としてはジメチルスルホキシ

ドまたはジクロロエタンを挙げることができる。混和性であるならば、上記溶剤の任意の混合物を使用することもできる。

二酸化チタン層は1より大きい粗度を有するのが好ましい。但し粗度とは、真の表面積対見掛けの表面積の比と定義される。粗度は1.0~1.000であるのがより好ましく、5.0~20.0であるのが最も好ましい。二酸化チタン層は、2つの方法の一方を使用して伝導層の表面上に構築するのが好ましい。1つは、“Stalder and Augustynski, J. Electrochem. Soc. 1979, 126: 2007”及び実施例35に記載の“ゾルゲル法”であり、もう1つは、実施例35及び37に記載の“コロイド法”である。

本発明の電池の透明アレートに使用するガラスまたはポリマーブレードは、アレートが好ましくは6.0~9.9%、より好ましくは8.5~9.5%の可視光透過率を有するよう光透過導電層がその上に堆積された任意の透明ガラスまたはポリマーである。透明伝導層は、1.0Ω/cm²以下、好ましくは1~1.0Ω/cm²の表面抵抗を有するのが好ましい。本発明の光電池に使用する透明伝導層は約0.8厚

子%のフッ素をドーピングした二酸化スズでできているのが好ましい。この層を、低成本のソーダ石灰フロートガラスでできた透明基板上に堆積する。このタイプの伝導性ガラスは、Asahi Glass Company, Ltd. 東京、日本からTCOガラスの商品名で入手することができる。透明伝導層は、ガラス基板上に堆積した、酸化スズを5%以下の量でドーピングした酸化インジウムで製造することもできる。これは、BalzersからITOガラスの商品名で入手することができる。

本発明の光電池は、既存の電池と比較して以下の利点を有する。

1. 通常の太陽電池に匹敵し得る充填係数(fill factor)を維持しつつ、通常の電池よりも高い開回路電圧を有する。但し充填係数とは、光エネルギー変換に最適な電池電圧における電気出力を開回路電圧と短絡電流の積で除算したものと定義される。高い開回路電圧は、より小さい開回路電圧を有する通常の光電池よりも低い抵抗損で電池を作動することができるので、実用化において極めて重要である。
2. 半導体が光吸収及びキャリヤ輸送の機能を同時に果たすp-n接合固相太陽電池とは対照的に、本発明の光電

池はこれらの機能を分離している。光は、二酸化チタン層の表面に付着されている極めて薄い染料層によって吸収され、一方で、電荷キャリヤ輸送は二酸化チタン層によって行われる。結果的に、本発明の光電池は多数キャリヤデバイスとして動作する。これは、結晶粒界または他のタイプの結晶不規則性またはTiO₂膜内の不純物及び不規則性のような欠陥が、少量キャリヤが電池動作に関与するケースのように電池の効率を下げるとはないという利点を有する。通常の太陽電池は少數電荷キャリヤで動作し、これは、かかる電池を高度に純粋で且つ規則性である材料から製造する必要性があることを意味し、従ってコストがかかる。本発明は安価な太陽電池の開発を可能とする。本発明の電池に使用する全ての材料は増感剤を除いては安価である。しかしながら増感剤は、典型的には0.3 mmol/l/m²ほどの少量でしか使用されず、そのコストは他の成分、例えばガラスプレートに対しては無視し得るほどである。

3. 本発明の電池は多数キャリヤデバイスとして動作するというこの異なる結果として、電池電圧が入射光の強度に左右される程度は通常の太陽電池よりも小さい。従って、通常の電池の効率が散乱光下または曇天下で急速に低

下するのに対して、本発明の電池はかかる条件下で高い効率を維持する。

4. 適当な染料を選択することにより、電池を太陽エネルギー変換に関して最適化することができる。本発明の光電池は光吸収の最適な波長を820 nmに有しており、これに対応するエネルギーは1.5 eVである。かかる電池は、シリコンをベースとする電池よりも高い太陽光変換効率を達成し得る。

5. 本発明の光電池は、既に公知の系よりも効率的に散乱光を電気に変換することができる。

6. 好ましい本発明の光電池の異なる利点は、前面、背面または両面から照射し得ることである。光を対極及び電解液を通してTiO₂層に付着させた染料に到達させることにより照射することができる。染料被覆電極及び対極の両方が透明であるならば、全ての方向からの光を収集することができる。このようにして、直射日光に加えて散乱反射光を収集することができる。このことで太陽電池の総合効率は向上する。

7. 本発明の光電池の異なる利点は、染料を負荷したT

iO₂層の特殊表面構造及び電気特性によって、対極を作電極の上に直接置けることである。即ち、短絡の形成を遮ける目的で2つの電極を離して維持するためにポリマー膜のようなスペーサーを使用する必要がない。染料被覆TiO₂層の導電性によって、対極と直接接触したとしても、2つの電極の短絡による急増電流がない。これは、デバイスの構造を単純化してそのコストを下げるが故に、電池の実用化に重要な利点である。

ゾルーゲル法においては、最後の3つ、最後の2つまたは一番上ののみの二酸化チタン層を二価または三価金属を用いて15重量%以下の量でドーピングするのが好ましい。しかしながら、純粋なドーパントを極めて薄い最上の酸化物層の形態で堆積するのが有利となり得る。後者のケースでは遮断層が形成され、これで、半導体-電解液接合部における電流漏れは防止される。全てのTiO₂層は実施例3-4に記載のゾルーゲル法によって形成される。堆積するTiO₂層の数は10~11であるのが好ましい。TiO₂層の全厚は5~50ミクロンであるのが好ましい(より好ましくは10~20ミクロンである)。

光増感層は、後述する本発明の染料をTiO₂層に塗布

特表平5-504023 (5)

することにより生成することができる。

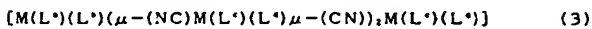
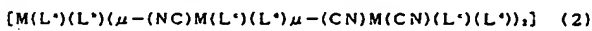
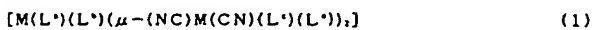
即ち、一連の新規の染料は、有効な光増感剤として作用するように開発されている。

更に本発明によって、配位子が二座、三座または全座(enideterminate)ポリピリジル化合物である、未置換のまたは置換された遷移金属(好ましくはルテニウム、オスミウムまたは鉄)錯体からなる光増感染料が提供される。かかるピリジル化合物の1種以上は1つ以上のシアノ基を含むのが好ましい。

更に本発明によれば、少なくとも1つの配位子が单核シアノ含有ピリジル化合物を含む、遷移金属(好ましくはルテニウム、オスミウムまたは鉄)錯体からなる光増感染料が提供される。

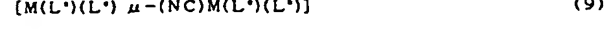
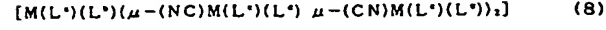
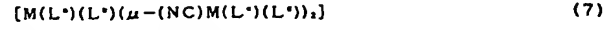
本発明の光増感染料においては1錯体当たり3つのルテニウム原子及び6つの供与原子があるのが好ましい。

本発明によれば、下記の式(1)～(10)の化合物が提供される：



トリフェニレン、ジアザヒドロキシカルボキシトリフェニレン(例えば1,1'2'-ジアザトリフェニレンまたは1,1'2'-ジアザ(6-ヒドロキシ-7-カルボキシ)トリフェニレン)；カルボキシビリジン(例えば2-カルボキシリジン)；フェニルビリジン；2,2'-ビス(ジフェニルホスフィノ)-1,1'-ビナフタレン；(ビリジルアゾ)レゾルシノール(例えば4-(2-ビリジル(アゾ)レゾルシノール))；ビス(2-ビリジル)C₁₁、アルカン；N,N,N',N'-テトラC₁₁、アルキルエチレンジアミン；及びジ-C₁₁、アルキルグリオキシム；2,2'-ビイミダゾール；2,2'-ビベンズイミダゾール；2,-(2'-ビリジル)-N-メチルベンズイミダゾール；2,-(2'-ビリジル)ベンゾチオゾール；2,-(2'-ビリジルメチル)ベンズイミダゾールから選択され。

しは、(未置換の、または未置換のもしくはCOOHで置換されたフェニル基によって置換された)テルビリジル(例えば2,2',6',2"テルビリジン)及びジカルボキシ-ビリジン(好ましくは2,6-ジカルボキシ-ビリジン):2,6-ビス(ベンズイミダゾール-2'-イル)ビリジン:2,6-ビス(N-メチルベンズイミダゾール-2'-イル)ビリ



式中、各 M は独立に、ルテニウム、オスミウムまたは鉄から選択され、 $\mu-(CN)$ または $\mu-(NC)$ は、シアノ基が 2 つの金属原子を架橋していることを示しており、

し、し、し及びしの各々は独立に、未置換のまたは1つまたは2つのCOOH基で置換された2,2'-ビヒリジル: C₁₁、アルキル、C₁₁、アルコキシ及びジフェニルから選択される1つまたは2つの基で置換された2,2-ビヒリジル; 未置換のまたは1つもしくは2つのカルボキシ基で置換された2,2'-ビキノリン; 未置換の、或いは1つもしくは2つのカルボキシ基及び/または1つもしくは2つのヒドロキシ基及び/または1つもしくは2つのオキシム基で置換されたフェナントロリン; 4,7-ジフェニル-1,10-フェナントロリンジスルホン酸; ジアザ

ジン；2.6-ビス(ベンゾチアゾール-2'-イル)ヒリジンから選択され、

各Xは独立に、ハロゲン化物、 H_2O 、 CN^- 、 NCS^- 、アミン(第一級または好ましくは第二級アルキルアミン)及び/またはピリジンである)。

し・及びし^一の一方は、上述のごとき選択される結合基、
好ましくは-COOH及び／またはOH及び／または=NH
-OH及び／または-CO-NH₂基を有するのが好まし
い。

テルビリジルは、置換されている場合には、1つ以上の
ビリジル基においてC...アルキル(好ましくはメチル)及
び/またはC...アルコキシ(好ましくはメトキシ)及び/
またはカルボキシによって置換されているのが好ましく、
例えば2,2',6',2"テルビリジンが好ましい。

し。～し。におけるフェナントロリンは、5-カルボキシ-6-ヒドロキシ-1,10-フェナントロリン及び5,6-ジオキシム-1,10-フェナントロリンから選択されるのが好ましい。

レ・ヘ・シ・におけるジアザヒドロキシカルボキシトリフェニレンは1,12-ジアザ-6-ヒドロキシ-7-カルボ

特表平5-504023 (6)

$[M(L^*)(L^*)(C_N)(H_2O)]$ (2a)

の化合物と常温より高い温度で反応させることにより製造することができる。

式(3)の化合物は、上述の式(1a)の化合物を1モルの式(3a):

$((NC)M(L^*)(L^*)(C_N), M(L^*)(L^*)$ (3a)

の化合物と常温より高い温度で反応させることにより製造することができる。

式(4)の化合物は、1モルの式(4a):

$M(L^*)(L^*)(X),$ (4a)

の化合物を1モルの式(4b):

$M(L^*)(L^*)(C_N),$ (4b)

の化合物と反応させることにより製造することができる。

式(5)の化合物は、1モルの式(5a):

$MX,$ (5a)

の化合物を1モルのし*及び1モルの配位子形成化合物し*と常温より高い温度で反応させることにより製造することができる。

式(6)の化合物は、1モルの式(6a):

$M(L^*)(L^*)Cl,$ (6a)

を1モルより過剰の量の配位子形成化合物し*と常温より高い温度で反応させることにより製造することができる。

式(7)の化合物は、1モルの式(7a):

$M(L^*)(L^*)Cl,$ (7a)

の化合物を2モルの式(7b):

$C_N M(L^*)(L^*)$ (7b)

の化合物と常温より高い温度で反応させることにより製造することができる。

式(8)の化合物は、式(8a):

$M(L^*)(L^*)Cl,$ (8a)

の化合物を2モルの式(8b):

$C_N M(L^*)(L^*)C_N M(L^*)(L^*)$ (8b)

の化合物と反応させることにより製造することができる。

式(9)の化合物は、式(9a):

$M(L^*)(L^*)(H_2O)$ (9a)

の化合物を1モルの式(9b):

$M(L^*)(L^*)(C_N)$ (9b)

の化合物と常温より高い温度で反応させることにより製造することができる。

式(10)の化合物は、1モルの式(10c):

$M(L^*)(X,)Cl$ (10c)

の化合物を1モルの配位子形成化合物し*と常温より高い温度で反応させることにより製造することができる。

更に本発明によって、光電池系に使用するための、ガラス支持体上の透明なTiO₂層からなる電極が提供される。

かかる透明層は、TiO₂コロイド溶液をガラス支持体上に分散させることにより製造するのが好ましい。かかる溶液は、Ti(OCH₂CH₃)₄を加水分解することにより調製するのが好ましい。

“透明”なる用語は、入射光の70%、より好ましくは80%がガラスを通過することを意味する。

以下、実施例によって本発明を更に説明する。

実施例1

配位子2,2'-ビビリジン、4,4'-COOH-2,2'-ビビリジン及びRuCl₃·3H₂OはAlfa and Fluka製の市販サンプルである。他の全ての材料は試薬グレードのものであり、更に精製せずに使用した。シージクロロビス(4,4'-COOH-2,2'-ビビリジン)Ru(II)は公知である。

a) シスージシアノビス(2,2'-ビビリジン)Ru(II)

特表平5-504023 (7)

の合成(前述の式(5)の化合物に関連)

800 mg (1.45 mmol) のシスジクロロビス(2,2'-ビピリジン)Ru(II)の合成(前述の式(5)の化合物に関連)

200 mg (1.45 mmol) の Ru(II) を 80 ml の DMF 中に暗所で窒素下に溶解した。これとは別に水に溶解しておいた 190 mg (2.91 mmol) の KCN をこの溶液に加えた。溶液を還流下に 3 時間加熱した。反応の間、暗紫色の溶液は橙赤色に変化した。この反応の進行は UV/可視光分光光度計によってモニターした。溶液を微細ガラスフリットで汎過し、汎液を減圧下に蒸発乾固した。未反応の出発錯体を除去するため、残留物を 20 ml の水に溶解し、汎過した。汎液を再び蒸発乾固した。得られた残留物を 15 ml のエタノール中に溶解し、微細ガラスフリットで汎過して、生成物 KCl を定量的に除去した。汎液に 150 ml のジエチルエーテルを加えた。濁った溶液を冷蔵庫に 2 時間入れ、その後、ガラスフリットで汎過することにより沈澱物を回収した。沈澱物を毎回新たな 5 ml の 2:1 エタノール/ジエチルエーテル混合物で 3 回洗浄し、次いで無水ジエチルエーテルで洗浄し、真空下に乾燥した。収量 0.62 g、収率 90%。この錯体の純度は元素分析及び蛍光挙動によって調査することができる。

溶液を冷蔵庫に 10 時間入れ、その後、ガラスフリットで汎過することにより沈澱物を回収した。沈澱物を、まず 2:5 アセトンジメチルエーテル混合物、次いで無水ジエチルエーテルで洗浄し、真空下に乾燥した。収量 450 mg (69%)。

実施例 2(前述の式(1)の化合物に関連)

0.86 mmol の Ru(II)L'(CN) を使用して実施例 1c を繰り返し、表 1 の実施例 2 に記載の化合物を製造した。

実施例 3~8

実施例 1 に従う方法によって、適当な反応物質から下記の表 1 に記載の化合物を製造することができる。

b) シスジシアノビス(4,4'-COOH-2,2'-ビピリジン)Ru(II)の合成(前述の式(5)の化合物に関連)

この錯体は、単離ステップ及び精製ステップを除いては上述のものと同様の方法によって製造した。反応物質 $[Ru(4,4'-COOH-2,2'-bpy)_2Cl_2]$ 及び KCN を 1:2 の比で 4 時間還流させた後、溶液を冷やし、微細ガラスフリットで汎過した。汎液を減圧下に蒸発乾固した。得られた残留物を pH 6~7 の水に溶解し、所望の錯体を、その等電点が pH 2.6 の中性塩として単離した。

c) Ru(II) のシアノ錯体トリマー $[Ru(L_2(CN)_2Ru(L')_2)_2]$ の合成(前述の式(1)の化合物に関連)

下記の表 1 に示す錯体は以下のように製造することができる。307 mg (0.43 mmol) の RuL_2Cl_2 を 30 ml のアルカリ性 DMF 中に暗所で窒素下に溶解した。この溶液に 400 mg (0.86 mmol) の $RuL'(CN)_2$ を加えた。溶液を還流下に 6 時間加熱し、室温に冷やした。溶液を微細ガラスフリットで汎過し、汎液を蒸発乾固した。得られた残留物を pH 6~7 の水に溶解した。この溶液の pH は 3.2 に下がり、密な沈澱物が形成された。

表 1

錯体	L	L'
$[Ru(L_2(CN)_2Ru(L')_2)_2]$	4,4'-COOH ₂ bpy	2,2'-bpy
$[Ru(L_2(CN)_2Ru(L')_2)_2]$	4,4'-COOH ₂ bpy	4,4'-Me ₂ bpy
$[Ru(L_2(CN)_2Ru(L')_2)_2]$	4,4'-COOH ₂ bpy	4,4'-Ph ₂ bpy
$[Ru(L_2(CN)_2Os(L')_2)_2]$	4,4'-COOH ₂ bpy	2,2'-bpy
$RuL_2(CN)_2$	4,4'-COOH ₂ bpy	
$RuL_2(CN)_2$	2,2'-bpy	
$RuL_2(CN)_2$	4,4'-Me ₂ bpy	

但し、"bpy" = 2,2'-ビピリジル

"Me" = メチル

"Ph" = フェニル

実施例 9~33

実施例 1 と類似の方法によって、適当な反応物質から表 2 に記載の錯体を製造することができる。

表 2 中、bpy は 2,2'-ビピリジルであり、bipy は 2,2'-ビキノリンであり、phen は 1,10-フェナントロリンである。

実施例 1 ～ 9 においては 2-フェニルビリジンを使用し、

実施例 2 ～ 22 においては直鎖状及び分枝状アルキル基を使用し、

実施例 26 においては N,N-テトラメチル及び C,C-テトラメチルエチレンジアミンを使用し、

実施例 27 においては 2,2-ビス(ジフェニルホスフィノ)-1,1'-ビナフチレンを使用し、

実施例 28, 30 及び 31 においては 1,10-オルトフェナントロレンを使用し、

実施例 31 においては 4-(2-ビリジル)アゾレゾルソールを使用した。

組体	L	L'
25 [Ru ₁ ,L']	4,4'--(COOH) ₂ ,2,2'-bpy	1,2-ビス(2-ビリジル)エタン
26 [Ru ₁ ,L']	4,4'--(COOH) ₂ ,2,2'-bpy	(Me) ₄ エチレンジアミン
27 [Ru ₁ ,L']	4,4'--(COOH) ₂ ,2,2'-bpy	ビナフチル
28 [Ru ₁ ,L']	4,4'--(COOH) ₂ ,2,2'-bpy	3,8-(COOH),1,2-(OH),phen
29 [Ru ₁ ,L']	4,4'--(COOH) ₂ ,2,2'-bpy	ジメチルアリオキシム
30 [Ru ₁ ,L']	4,4'--(COOH) ₂ ,2,2'-bpy	4,7-(OH),1,10-phen
31 [Ru ₁ ,L']	4,4'--(COOH) ₂ ,2,2'-bpy	2-アゾビリジルレゾルソール
32 [Ru ₁ ,L']	4,4'--(フェニル),2,2'-bpy	4,4'-(COOH),2,2'-bpy
33 [Ru ₁ ,L']	4,4'--(フェニル),2,2'-bpy	4,7-(OH),1,10-phen

表 2
1つ以上の4,4'-ジカルボキシ-2,2'-ビヒリジン配位子を有する組体のリスト

組体	L	L'
9 [Ru ₁]	4,4',5,5'-(COOH),2,2'-bpy	-
10 [Ru ₁]	3,8-(COOH),4,4',7-(OB),phen	-
11 [Ru ₁]	6,6'-(COOH),2,2'-bpy	-
12 [Ru ₁][Ru _{1'}]	4,4'-(OMe),2,2'-bpy	-
13 [Ru ₁ (H ₂ O) ₂]	4,4'-(COOH),2,2'-bpy	-
14 [Ru ₁ (Cl ₂) ₂]	4,4',5,5'-(COOH),2,2'-bpy	-
15 [Ru ₁ (CN) ₂]	4,4'-(COOH),2,2'-bpy	-
16 [Ru ₁ ,L'(H ₂ O)]	4,4'-(COOH),2,2'-bpy	4-(COOH)ビリジン
17 [Ru ₁ ,L'(H ₂ O)]	4,4'-(COOH),2,2'-bpy	3-(COOH)ビリジン
18 [Ru ₁ ,L'(H ₂ O)]	4,4'-(COOH),2,2'-bpy	フェニルビリジン
19 [Ru ₁ ,L']	4,4'-(COOH),2,2'-bpy	4,4'-(COOH),2,2'-bpy
20 [Ru ₁ ,L']	4,4'-(COOH),2,2'-bpy	4,4'-(COOH),2,2'-bpy
21 [Ru ₁ ,L']	4,4'-(COOH),2,2'-bpy	4,4'-(フェニル),2,2'-bpy
22 [Ru ₁ ,L']	4,4'-(COOH),2,2'-bpy	C ₁ -H ₂ ,2,2'-bpy
23 [Ru ₁ ,L']	4,4'-(COOH),2,2'-bpy	4,4'-(Me),2,2'-bpy
24 [Ru ₁ ,L']	2,2'-bpy	1,10-フェナントロリン-5,8-ジオキシム

実施例 1 ～ 33 の組体は光増感染料として有効であることが判り、本発明の光電池にそのまま使用することができる。

実施例 34

好ましい光電池を図 1 を参照して示す。

伝導性ガラスに支持されているアルミニウムドーアニ酸化チタン膜の増感に基づく光電デバイスを以下のように製造した。

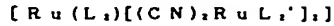
新たに留出させた 21 mmol の TiCl₄ を 10 ml の無水エタノール中に溶解することにより、有機二酸化チタン前駆体のストック溶液を調製した。エタノール溶液中の TiCl₄ は自発的にチタンアルコキシドを与え、これを加水分解して TiO₂ を得た。次いでストック溶液を更なる無水エタノールで希釈して、チタン含有量がそれぞれ 2.5 mg/ml (溶液 A) 及び 5.0 mg/ml (溶液 B) の 2 種類の溶液を得た。アルミニウム含有量が 1.25 mg/ml になるまで AlCl₃ を加えることにより、溶液 B から第 3 の溶液 (溶液 C) を調製した。Asahi Inc. 日本提供の表面積 10 cm²、可視光透過率 85% 以上及び表

面抵抗 $1.0 \Omega/cm^2$ 以下の伝導性ガラスシートを堆積 TiO_2 層の支持体として使用した。ガラスは、使用前にアルコールで洗浄した。溶液 A の小滴を伝導性ガラスの表面に広げて薄いコーティングをつくった。次いで層を、湿度を平衡飽和水蒸気圧の 48% に維持した特別チャンバ内で 28°C で 30 分間加水分解した。次いで、450°C に維持した管状オーブン内の空気中で電極を加熱したが、これは、オーブンの入口で 5 分間予熱してから中で 15 分間加熱した。同様にして更に 3 つの層を作製した。次いで、溶液 B を使用して 5 つより厚い層を堆積した。第 1 の層と同じ工程を使用した。最後に溶液 C を使用して、アルミニウムドーパントを含む最後の 2 つの層を堆積した。管状オーブン内での最後の層の加熱は 15 分間から 30 分間に延長した。二酸化チタン層の全厚は 10 ~ 20 ミクロンである。

染料を堆積する前に、フィルムを 99.997% の高度精製アルゴン中で焼結処理した。適当な粒度を有する石英管からなる水平管状オーブンを使用した。 TiO_2 層を有するガラスシートを挿入した後、管を 2 回排気し、アルゴンでバージした。次いでガラスシートを、流量 2.5 リットル/時間のアルゴン通流下で温度勾配を 500°C/時間ヒ

して 550°C まで加熱し、この温度に 35 分間維持した。この処理によって、表面粗度が 80 ~ 200 の緻密石墨が生成された。

速やかアルゴン流下に冷却した後、ガラスシートを直ちに発色団のアルコール溶液に移した。使用した発色団はトリマールテニウム錯体：



[式中、L は $2,2'-ビビリジル-4,4'-ジカルボン酸$ であり、L' は $2,2'-ビビリジル$ である]

であり、無水エタノール中のその濃度は $5 \times 10^{-3} M$ であった。電極表面にヒドロキシル基が存在すると染料の取込みを妨げるが故に TiO_2 表面のヒドロキシル化を防ぐため、染料吸着前に膜を周囲の空気に長時間暴露するのは避けた。発色団をエタノール溶液から 30 分間吸着させ、次いで、ガラスシートを取り出し、無水エタノールで簡単に洗浄した。シート上の TiO_2 層は、発色団コーティングのために深紅色となった。

0.5 M LiI 及び $3 \times 10^{-3} M$ ヨウ素のエタノール溶液を含む通常の 3 種電気化学セルを使用し、このような膜を用いて得られる光電流 (photocurrent) 作用スペクトル

を、太陽光放射の AM 1 スペクトル分布と一緒に添付の図面に示す。入射単色光子から電流への変換効率 (IPCE) を励起波長の関数としてアロットした。これは、式：

$$(1) IPCE(\%) = \frac{[(1.24 \times 10^{-3}) \times \text{光電流密度}(\mu A/cm^2)]}{[\text{波長}(\text{nm}) \times \text{光子束}(\text{W}/\text{nm}^2)]}$$

から導出した。光電流作用スペクトルと太陽放射の重なりから、太陽光から電気への変換の総合効率 η は、式：

$$(2) \eta = 12 \times OCV \times FF(\%)$$

[式中、OCV は開回路電圧であり、FF は光電池の充填係数である]

で計算される。

式 2 の実験的検証のため、透明な伝導性二酸化スズ層 (6) とホトアノード (photoanode) としてのガラス基板 (7) からなる伝導性ガラス (作用電極) に支持された、染料 (4) を負荷した TiO_2 (5) 層を使用し、添付の図面に示した光電池を構築した。この電池はサンドイッチ様の構造を有しており、作用電極 (4 ~ 7) は、厚さ約 20 ミクロンを有する薄い電解液層 (13) によって対極 (1, 2) から分離されている。使用した電解液は 0.5 M LiI 及び $3 \times 10^{-3} M$ ヨウ素のエタノール溶液であった。電解液 (3) は、

電池の側部に取り付けられた小さな円筒形の溜め (図示なし) 内に入れられており、そこから毛管作用によって電極間のスペースに引き込まれる。対極は、やはり Asahi 伝導性ガラスでできているガラス基板 (1) 上に堆積されている伝導性二酸化スズ層 (2) からなり、作用電極の上に直接置かれている。ヘキサクロロブチネート水溶液で電気めっきすることにより、透明なブチナ单分子層を対極 (1, 2) の伝導性ガラス上に堆積した。ブチナの役割は、対極におけるヨウ素の電気化学還元を増強することである。対極が透明であるのは、前方及び後方の両方向から光を収集できるため、光電用途に有利である。AM 1 太陽照射をシミュレートするための適当なフィルターを備えた高圧キセノンランプを用いて実験を実施した。光の強度は 50 ~ 600 ワット/ m^2 の範囲で変えることができ、開回路電圧はかかる 2 つの電圧においてそれぞれ 660 及び 800 mV であった。電池の最大電気出力を、開回路電圧と短絡電流の積で除算したものと定義される充填係数は 0.7 ~ 0.75 V であった。単結晶シリコン電池は $600 W/m^2$ の入射光強度においては 550 mV の開回路電圧を与えたが、 $50 W/m^2$ においては 300 mV 以下にまで降下した。

これは明らかに、本発明の電池がシリコン太陽電池よりも高い開回路電圧を有し、しかも開回路電圧がシリコン電池よりも光の強度に依存しないことを示している。このことは、このような電池を非直射日光または曇天条件下で使用するのにかなり有利である。シリコン電池の充填係数は本実施例のそれと同じ程度である。本実施例の電池の太陽光から電気への全変換効率は、式2の推定量と一致して5～6%である。

実施例35

伝導性ガラス支持体上に堆積して焼結すると高度に多孔質の干渉性半導体膜を与える二酸化チタンコロイド粒子から透明なTiO₂を得た。この膜は透明であって、実施例34のTiO₂層膜の代わりに使用し得る。

チタンイソアプロボキシドを以下のように加水分解することにより、約10nmの酸化チタンコロイド粒子を調整した：

125mlのチタンイソアプロボキシドを、750mlの水中に0.1M硝酸を含む溶液に攪拌しながら加えた。かかる条件下で非晶質二酸化チタンの沈澱物が形成された。

なった。焼結の間に著しい粒子の成長が生じたことは明らかである。

増感剤Ruし₂(ここでしは2,2'-ビヒリジル-4,4'-ジカルボン酸である)再生電池と一緒に、透明なTiO₂膜の可視光からの電気生成について試験した。結果は、シミュレート日光(強度約30W/m²)下の光電流を電池電圧の開数としてプロットして表わすことができる。かかる条件下での開回路電圧は0.52Vであり、短絡電流は0.381mA/cm²であった。充填係数は0.75であって、効率5%を与えた。同じ条件下で市販のシリコン光電池は短絡電流1mA、開回路電圧0.4V及び変換効率1.0%を与え、変換効率のみが、二酸化チタン膜を用いて得られるよりも2倍高いファクタであった。

実施例36

寸法2×9.6cm²を有する伝導性ガラスシート(A.S.A.H.I)(表面抵抗約10Ω/cm²)を、実施例35の方法に従ってコロイド状二酸化チタン膜で被覆した。全部で7つのTiO₂コロイド層をスピンドルコートによって順次堆積したが、その都度膜を500℃で30分間か焼した。

これを激しく攪拌しながら約8時間で80℃にまで加熱すると、沈澱物のペアチゼーションが起こり、鋸歯状の透明コロイド溶液が形成された。二酸化チタン粒子の鋸歯状構造はレーマン分光法によって立証された。溶剤を室温で真空中下に、コロイド粒子を含む粘性液体が得られるまで蒸発させることにより、ゾルを濃縮した。この時点で、基板に塗布したときの膜のひび割れを少なくするため、非イオン性界面活性剤TRITON X-100(TiO₂の40重量%)を加えた。

二酸化チタン膜は、濃縮ゾルを伝導性ガラス基板上にスピンドルコート(spin coating)することにより形成した。増感剤の单層を堆積した後に優れた可視光吸収効率を与えるのに十分な表面積の半導体膜を得るためにには、通常は6～10の層を塗布すれば十分である。

低分解能電子顕微鏡調査により、一番下の層がガラス支持体であり、次が厚さ0.5ミクロンのフッ素ドープSnO₂であり、最後が厚さ2.7ミクロンの二酸化チタン層である3層構造の存在が確認された。高分解能電子顕微鏡調査からは、TiO₂膜は、平均粒径約16nmを有する相互に連結した粒子の3次元網構造からなることが明らかと

膜のひび割れを防ぐために、30%(w/w)のTRITON X-405界面活性剤を加えた。

二酸化チタン膜の最終的な厚さは、光学干渉パターンから判定したところ5ミクロンであった。TiO₂堆積後の伝導性ガラスシートは透明のままであり、可視光及び近赤外光に対して透過性であったことに留意することは重要である。通常の分光光度計に記録された透過スペクトルは、400～900nmの波長域にある可視光の60%以上のフラクションが膜を透過したことを示した。電極のUV/可視光吸収スペクトルを得ることもできる。伝導性ガラス及び厚さ5nmのTiO₂層による光の吸収及び散乱のため、可視光に平坦特性(flat feature)が認められた。400nm以下の吸収の急増部分は、TiO₂のバンドギャップ吸収に起因するものである。

染料で被覆する直前に、膜を500℃で1時間火仕上げ(fire)した。TiO₂を染料で被覆するのは、トリマールテニウム錯体RuL₃(CN)₆(ここでしは2,2'-ビヒリジル-4,4'-カルボキシレートであり、しは2,2'-ビヒリジルである)を含むエタノール溶液中にガラスシートを16時間没漬することにより行なった。被

覆後、ガラスシートは濃い深紅色に変色した。通常のUV/可視光分光度計で測定した光吸収スペクトルは、500 nm近傍で値2を超える吸収を示し、これは、この波長域において99%以上の光子が、二酸化チタン膜上に堆積された染料によって吸収されたことを示している。染料の濃度が高いので多孔質膜は400~750 nmの極めて広いスペクトル範囲で光子を収集し得たことに留意することが重要である。

染料堆積後、ガラスシートを、各々が寸法約9 cm²を有する2つの部分に切断した。これらのシートは、その組立ては後述するモジュールにおいて作用電極(ホトアノード)として作用する。

透明な対極は、作用電極と同じタイプのASAHI伝導性ガラスで製造した。対極はTiO₂で被覆しなかった。

その代わりに、10個のアラチナ单層の等価物を伝導性ガラス上に電気化学的に堆積した。対極の透明性はアラチナの堆積によって影響されず、可視光及び近赤外光におけるその透過率は60%以上を維持した。アラチナは電極触媒として作用し、対極における電子移動仲介物質、即ち三ヨウ化物の還元速度を増大する。ガラスシートの縁部近くの

対極の表面内に、深さ約1 mm、幅約1.5 mm及び長さ約20 mmの2つのくぼみを設けた。これらは電解液溜めとして作用する。

対極は、サンドイッチ構造を与えるように作用電極の直ぐ上に置いた。溜めに電解液を充填した後、電池をエボキシ樹脂で封止した。2つの電極間のスペースは毛管作用により電解液によって自発的に満潤化した。電解液は、エタノール中に0.5 M テトラアロビルアンモニウムヨージド及び0.02 M ヨウ素を含む溶液であった。

このようにして、各々が表面積約9 cm²を有する2つの電池を製造した。次いでこれらを、一方の電池のホトアノードを第2の電池のカソードに電気的に接続することにより直列に接続した。このようにして、全表面積18 cm²を有するモジュールを製造した。

このモジュールの性能は、波長520 nm及び強度0.38 W/m²の単色光を基準にして示すことができる。0.115 mAの短絡光電流は、入射単色光子から電流への変換効率74%に対応した。充填係数は0.74であり、單色電力変換効率は520 nmにおいて12%であった。

自然光条件下で結果を出すこともできる。全入射光強度

は約3 W/m²であった。かかる条件下でモジュールの短絡光電流は0.76 mAであり、電池の充填係数は0.73であり、昼光から電力への全変換効率は11%であった。比較すると、同じ条件下寸法1 cm²の市販シリコン電池は、短絡光電流0.17 mA、開回路電圧0.21 V、充填係数0.5、及び全変換効率6%を示した。上記結果を比較すると、散乱昼光下でのTiO₂電池の性能は通常のシリコンデバイスよりも優れていることが明らかに判る。翌日の早朝に直射日光下で最終試験を実施した。約600 W/m²の太陽強度において出力電流は60 mAであり、開回路電位は1.5 Vであった。電池の充填係数は伝導性ガラス中の抵抗損のために0.6に低下し、総合効率は5.6%となった。

実施例 3 7

好ましい光電池を図1を参照して示す。

透明なTiO₂膜の増感に基づく光電素子は、伝導性ガラス支持体上に堆積し焼結すると高度に多孔質の干渉性半導体膜を与える二酸化チタンコロイド粒子から製造した。

チタンイソアロボキシドを以下のように加水分解するこ

とにより、約8 nmの二酸化チタンコロイド粒子を調製した。

125 mlのチタンイソアロボキシドを、750 mlの水に0.1 M 硝酸を含む溶液に搅拌しながら加えた。かかる条件下で非晶質二酸化チタンの沈澱物が形成された。これを激しく搅拌しながら約8時間で80°Cにまで加熱すると、沈澱物のペアチゼーションが起こり、鏡鱗石の透明コロイド溶液が形成された。加水分解によって形成されたアロバノールは加熱の間に蒸発した。次いでコロイド溶液を、チタン金属またはテフロンの圧力容器内で140~250°C、好ましくは200°Cで2~20時間、好ましくは16時間オートクレーブ処理した。幾分かの沈澱物を含む得られたゾルを搅拌または振盪して沈澱物を再懸濁させた。得られたゾルから再懸濁しなかった沈澱物を除き、溶剤を室温で真空下に、コロイド粒子を含む粘性液体が得られるまで蒸発することにより、ゾルを濃縮した。この時点の典型的な濃度は200 g/リットルである。この時点で、ひび割れせずに堆積する層の厚さを増大するために例えばUnion Carbide Carbowax 20MまたはTriton X-405のようなポリエチレンオキシド

ポリマーを加えることができる。ポリマーは、 TiO_2 の30~50、好ましくは40重量%の量で加える。

増感用電極はコロイド溶液から以下のように形成した：

適当な基板、例えばAsahi Corp. 製の伝導性酸化スズ被覆ガラス(チタン金属または任意の平坦な伝導性表面)の例えば3×6 cmの断片を伝導性表面を上向きにして置き、適当なスペーサー、例えば厚さ50~100ミクロン、好ましくは80ミクロンのアラスクッチャーテープを各縁に沿って取り付けた。適量のゾル、例えば上記基板に対しては200 g/リットルの TiO_2 及び40% Carbowax 20Mを含む150 μlのゾルを基板の一方の端部に沿ってピペットで添加した。ゾルを、その端部がスペーサーに載っている縁が平らなガラス片を用いて引きのばすことにより基板上に広げた。即ち、スペーサー、ゾルの粘度及びゾルの濃度によって堆積される TiO_2 の量が制御される。このように広げた膜を空気中で、目視で乾燥していると思われるまで乾燥し、好ましくは更に20分間乾燥した。乾燥後、電極を400~500°C、好ましくは450°Cで20分間火仕上げした。170°C以下でオートクレーブ処理したゾルの場合には、40ミクロンより

小さいスペーサを使用せねばならず、厚さ8~10ミクロンの TiO_2 膜を得るために上記工程を2回繰り返さねばならない。

上記方法により、10 cm×10 cmまでの電極を製造した。更に、スピンドルコーティング及び浸漬コーティングによってゾルを基板に塗布することもできる。

次いで電極は、通常のガラス切断技術によって所望の寸法に切断することができる。増感剤を塗布する直前に、電極を再び450~550°C、好ましくは500°Cで2~12時間、好ましくは6時間火仕上げした。ある種の溶剤及び染料の組合せにおいては、電極を500°Cで2~6時間火仕上げし、各火仕上げの間には、空気中に10時間または水、0.5M硝酸もしくは0.5M HCl中に最高で1時間浸漬することを5~10回、好ましくは7回繰り返すことにより、電極表面が改善される。使用前に、酸性溶液は溶解 TiO_2 で飽和した。最後の加熱の後で冷却の直前に、電極を増感剤溶液中に入れた。トリマールテニウム錯体 $RuL_2(CNRuL',CN)_2$ （ここで L は2,2'-ビビリジル-4,4'-ジカルボキシレートであり、 L' は2,2'-ビビリジルである）を含むエタノール溶液が好ましい

が、 RuL_2NCS または RuL_2L',H_2O （ここで L は2,6-ビス(N-メチルベンズイミダゾール-2'-イル)ビリジンである）のエタノール溶液も同等に好ましい。増感剤に従って、電極が完全呈色するには4~24時間が必要である。完全呈色は、目視によってまたは種々の時点の染料の可視光透過スペクトルをとることにより測定することができる。

染料溶液から取り出した後、以下のように電極から光電池を製造した。

透明な対極は作用電極と同じタイプのASAHI伝導性ガラスで製造した。対極は TiO_2 で被覆しなかった。その代わりに、10個のアラチナ単層の等価物を伝導性ガラス上に電気化学的に堆積した。対極の透明性はアラチナの堆積によって影響されず、可視光及び近赤外光におけるその透過率は60%以上を維持した。アラチナは電極触媒として作用し、対極における電子移動仲介物質、即ち三ヨウ化物の還元速度を増大する。或いは、上述のごとく Pt で被覆した場合によっては多孔質の薄いチタンシートを対極として使用することもできる。多孔質シートの場合には、プラスチック、ガラスまたは金属のような不透過性材料の

別のシートが対極の背後に必要とされる。

ガラスシートの縁部近くの対極の表面内に、深さ約1 mm、幅約1.5 mm及び長さ約20 mmの2つのくぼみを彫り込むことにより、電解液溜めを設けた。この溜めはガラスシートの外部に加えることもできるし、多孔質対極の場合には対極の背後に置くこともできる。

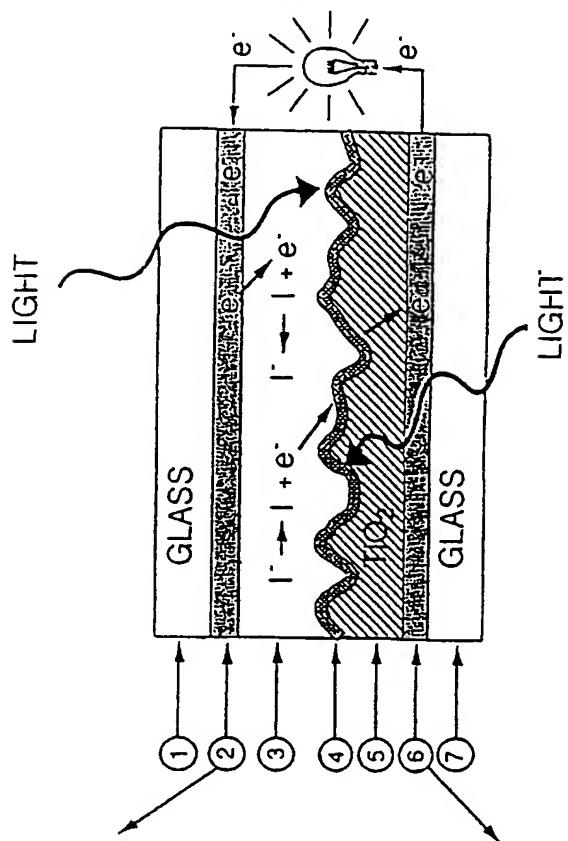
対極は、サンドイッチ構造を与えるように作用電極の直ぐ上に置いた。溜めには、前述のものから選択された電解液、好ましくは85重量%の炭酸エチレン、15%の炭酸プロピレン、0.5Mヨウ化カリウム及び40 mMヨウ素を充填した。所望の電圧に従う量の Li またはテトラアルキルアンモニウムヨウジドを存在させることもできる（好ましくは20 mM）。電池は、選択した溶剤と相容性のシーラントで縁に沿って封止し、接着剤で密着させた。シーラント及び接着剤は同じ材料、例えばアルコール溶剤の場合にはシリコン接着剤、また炭酸エチレンの場合にはポリエチレン及びエボキシ樹脂（または環状的閉鎖）とすることができます。2つの電極間のスペースは毛管作用により溜めに注入した電解液によって自発的に潤滑化した。

前述のタイプの光電池は、シミュレート日光80 mW/

cm^2 のもとで最高 1.2 mA/cm^2 の短絡電流及び最高 830 mV の開回路電圧を生成した。最も効率的な組合せは 9.6 mA/cm^2 及び 620 mV であって、このときの充填係数は 50% 、エネルギー変換効率は 3.8% であった。 60% 以上の充填係数が測定された。

実施例 34～37 のルテニウム錯体に代えて実施例 1～33 の他の実施例の錯体を光電池に使用することもできる。

FIG. 1



要約

一連の二酸化チタン層が付与されたガラスプレートまたは透明ポリマーシート上に堆積された光透過性導電層であって、少なくとも最後の二酸化チタン層(必要によっては最後から2番目及び最後から3番目の層も)が、二価または三価金属から選択された金属イオンでドーピングされている導電層を含む光電池。

補正書の写し(簡訳文)提出書(特許法第114条の3)

特許庁長官 麻生 渡段

平成4年10月16日

1. 特許出願の表示 PCT/EP 91/00734

2. 発明の名称 光電池

3. 特許出願人

住所 スイス国、ツェーハー1015・サン・シユルビス、シュマン・ドュ・マルキザ・7・アーヴ
氏名 グレツエル、ミヒヤエル

4. 代理人 東京都新宿区新宿1丁目1番14号 山田ビル

(郵便番号160) 電話(03) 3354-1611

(6200)弁理士 川口義雄

(ほか3名)

5. 補正書の提出年月日 1992年7月13日

6.添付書類の目録

(1)補正書の翻訳文



1通

特表平5-504023 (14)

請求の範囲

1. 1) ガラスアレートまたは透明ポリマーシート上に堆積された光透過性導電層と、
 2) 前記光透過性導電層に付与された1つ以上の好ましくは多孔質で高表面積の二酸化チタン層と、
 3) 少なくとも最後の二酸化チタン層(必要によっては最後から2番目及び最後から3番目の層にも)に与えられたドーパントであって、二価金属イオン、三価金属イオン及びホウ素から選択されているドーパントと、
 4) 前記ドーパント含有TiO₂層に塗布された光増感剤であって、結合基によってTiO₂層に付着しており、前記結合基が、カルボキシレート基、シアノ基、ホスフェート基、並びに、オキシム、ジオキシム、ヒドロキシキノリン、サリチレート及び α -ケト-エノレートから選択された π 伝導性を有するキレート化基から選択されている光増感剤とを含む太陽光応答性光電池。
 2. 1) 少なくとも一方が透明であり且つ60%以上の可視光透過率を有する2つの電極であって、アレートがこれら電極間の中空部を規定するように配置されており、前記

中空部内にはレドックス系を含む電解液が位置しており、前記一方の透明な電極が電解液接触二酸化チタン層を有しており、前記層の電解液接触表面が請求項1に記載のドーパントによってドーピングされており、該層に請求項1に記載の光増感剤が塗布されている電極と、

2) 該電池によって生成された電流の逆行を可能とする手段とを含む請求項1に記載の太陽光応答性光電池。

3. 1) 遷移金属錯体光増感剤で被覆した、厚さ0.1~50ミクロンを有する二酸化チタン層を堆積した第1の導電性アレートであって、TiO₂層の少なくとも最後の層が請求項1に記載のドーパントでドーピングされているアレートと、

2) TiO₂被覆は含まず且つ薄い電解液層によって前記第1のアレートから分離されている第2の伝導性アレートとを含む光電池であって、少なくとも一方のアレートの可視光透過率が60%以上である光電池。

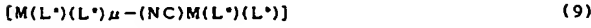
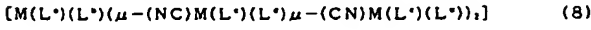
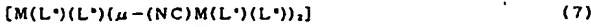
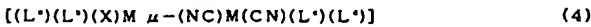
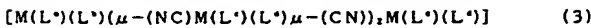
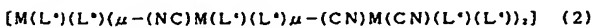
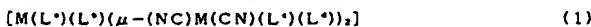
4. 前記結合基が、カルボキシレート基及びシアノ基から選択されている請求項1から3のいずれか一項に記載の光電池。

5. 前記光増感剤が、ルテニウム、オスミウムもしくは鉄錯体、または1つの超分子錯体中の2つもしくは3つの遷移金属の組合せである請求項1から4のいずれか一項に記載の光電池。

6. 前記光増感剤が、配位子が二座もしくは三座または全座ポリビリジル化合物である、未置換のまたは置換された遷移金属錯体である請求項1から5のいずれか一項に記載の光電池。

7. 前記光増感剤がルテニウムまたはオスミウム錯体から選択されている請求項5に記載の光電池。

8. 前記光増感剤が、化合物：



(式中、各Mは独立に、ルテニウム、オスミウムまたは鉄から選択され、 $\mu-(CN)$ または $\mu-(NC)$ は、シアノ基が2つの金属原子を架橋していることを示しており、

L^* 、 L^* 、 L^* 及び L^* の各々は独立に、未置換のまたは1つもしくは2つのCOOH基で置換された2,2'-ビビリジル；C₁₋₁₁アルキル、C₁₋₁₁アルコキシ及びジフェニルから選択される1つまたは2つの基で置換された2,2'-ビビリジル；未置換のまたは1つもしくは2つのカルボキシ基によって置換された2,2'-ビキノリン；未置換の、或いは、1つもしくは2つのカルボキシ基及び/または1つもしくは2つのヒドロキシ基及び/または1つもしくは2つのジオキシム基で置換されたフェナントロリン；パソフェナントロリンジスルホン酸；ジアザヒドロキシカルボキシトリフェニレン；カルボキシビリジン；フェニルビリジン；2,2'-ビス(ジフェニルホスフィノ)-1,1'-ビナフタレン；(ビリジルアゾ)レゾルシノール；ビス(2-ビリジル)C₁₋₁₁アルカン；テトラC₁₋₁₁アルキルエチレンジアミン；及びジ-C₁₋₁₁アルキルグリオキシムから選択され、

國際調查報告

レ"は、(未置換の、または未置換もしくはCOOHで置換されたフェニル基で置換された)テルビリジル及びジカルボキシ-ヒリジン(好ましくは2,6-ジカルボキシヒリジン)から選択され、

各Xは独立に、ハロ、H₂O、CN、アミン(第一級または第二級アルキルアミン)及び/またはビリジンである)から選択されている請求項1から7のいずれか一項に記載の光電池。

9. ガラス支持体上の透明な TiO_2 層からなる電極

10. 請求項8に記載の式(1)から(10)の化合物からなる光増感剤。

I. CLASSIFICATION OF SUBJECT MATTER		International Patent Classification (IPC) or local Patent Classification and IPC		PCT/EP 91/00734	
Arranging in International Patent Classification (IPC) or in local Patent Classification and IPC		Int.C1.5 H 01 G 9/20 H 01 M 14/00		G 03 F 7/029	
II. FIELDS SEARCHED					
(Maximum Classification Sought)					
Classification System		Classification System			
Int.C1.5	H 01 G G 03 C	1	H 01 M G 03 F	7	C 09 B 57
Classification Sought other than Maximum Classification is the Class or sub-Classifications indicated in the Fields Searched					
III. DOCUMENTS CONSIDERED TO BE RELEVANT					
Category	Character of Document, ¹⁾ with indication, where appropriate, of the content passage ²⁾				Reference to Class No. ³⁾
Y	US,A,4117210 (S.K. DEB et al.) 26 September 1978, see the whole document				1,9
A	---				2
Y	Thin Solid Films, volume 145, no. 1, December 1985, Elsevier Sequoia (NL) F.A. Smets et al.: "Extension of the optical absorption range of TiO2 thin films by chromium and cadmium doping", pages 61-67, see abstract				1,9
A	EP,A,0133641 (GEBAUDER SULZER) 20 September 1989, see the whole document				1-7,9
X	WO,A,8505119 (STIFTUNG) 21 November 1985, see pages 1-4 ---				10 /-
<p>¹⁾ General expression of class documents ²⁾ A document indicating the general scope of the art which is not considered to be a prior art document ³⁾ Other documents as published in or after the International Patent Classification</p> <p>¹⁾ A document which may contain claims on products, methods or processes, or which may contain such claims in a form which does not allow them to be distinguished from other material ²⁾ A document referring to art not represented, or which does not contain any claims ³⁾ A document published prior to the International filing date but later than the priority date</p> <p>¹⁾ A document published after the International filing date of another document and in a country which the applicant has designated as a country for which protection is to be claimed ²⁾ A document of particular relevance to the claimed invention which is considered new or新颖 or non-obvious ³⁾ A document of particular relevance to the claimed invention which is considered new and not to have been made available to the public in any other way and which is considered to be relevant to the claimed invention, being published in a country included in the art ⁴⁾ A document which is the main prior art family</p>					
IV. CERTIFICATION					
Date of the earliest Completion of the International Search		Date of Mailing of the International Search Report			
20-11-1991		20.12.91			
International Searching Authority					
Signature of International Officer					
EUROPEAN PATENT OFFICE					

III. DOCUMENTS CONSIDERED TO BE RELEVANT		Information Appended No. 2 CONTINUED FROM THE SECOND SHEET	Page 2 PCT/EP 91/00734
Category	Character of Document, its relevance, where appropriate, of the relevant passage	Reference to Class No.	
II	Patent Abstracts of Japan, volume 7, no. 48 (P-170)[1193] 24 February 1983, & JP, A, 57-19524 (RICOH) 30 November 1982, see abstract -----		10

国際調査報告

EP 9100734
SA 46627

This document lists the patent family members relating to the patent documents cited in the above-mentioned International search report.
The members are as recorded in the European Patent Office EPO file on 19/12/91.
The European Patent Office is not in any way liable for other patentees which are thereby given for the purpose of information.

Patent document cited in search report	Publication date	Patent family members	Publication date
US-A- 4117210	26-09-78	None	
EP-A- 0331641	20-09-89	CH-A- 674596 JP-A- 1220380 US-A- 4927721	15-05-90 04-09-89 22-05-90
WO-A- 8505119	21-11-85	EP-A, B 0179123 JP-T- 61502402 US-A- 4684517	07-05-86 23-10-86 04-08-87

For more details about this name : see Official Journal of the European Patent Office, No. 12/83

第1頁の続き

優先権主張 ②1990年11月15日④イギリス(GB)⑤9024831.1
 ⑦発明者 ナゼールツデイン, モハンマ
 ド・カジヤ
 ⑦発明者 オリーガン, ブアイアン

**This Page is Inserted by IFW Indexing and Scanning
Operations and is not part of the Official Record**

BEST AVAILABLE IMAGES

Defective images within this document are accurate representations of the original documents submitted by the applicant.

Defects in the images include but are not limited to the items checked:

- BLACK BORDERS**
- IMAGE CUT OFF AT TOP, BOTTOM OR SIDES**
- FADED TEXT OR DRAWING**
- BLURRED OR ILLEGIBLE TEXT OR DRAWING**
- SKEWED/SLANTED IMAGES**
- COLOR OR BLACK AND WHITE PHOTOGRAPHS**
- GRAY SCALE DOCUMENTS**
- LINES OR MARKS ON ORIGINAL DOCUMENT**
- REFERENCE(S) OR EXHIBIT(S) SUBMITTED ARE POOR QUALITY**
- OTHER:** _____

IMAGES ARE BEST AVAILABLE COPY.

As rescanning these documents will not correct the image problems checked, please do not report these problems to the IFW Image Problem Mailbox.